

01;03

## Устойчивость заряженных капель сфероидальных форм по отношению к осесимметричным деформациям

© А.И. Григорьев, С.О. Ширяева, С.И. Щукин

Ярославский государственный университет,  
150000 Ярославль, Россия

(Поступило в Редакцию 16 июня 1997 г.)

Исследуется устойчивость сильно заряженной сферической капли по отношению к деформациям ее формы к вытянутому и сплюснутому сфероидам. Показано, что капля может потерять устойчивость и распасться на части при условии, что ее виртуальная форма есть вытянутый сфероид. Деформация капли к сплюснутому сфероиду не приводит к ее распаду.

### Введение

Исследование устойчивости сильно заряженных капель по отношению к малым деформациям представляет интерес в связи с многочисленными приложениями в физике, геофизике, научном приборостроении и технологии [1,2]. Согласно [3,4], наиболее легко возбуждается неустойчивость основной осесимметричной моды капли  $\sim \pm P_2(\cos \theta)$ , соответствующей деформации исходной сферической капли к вытянутому или сплюснутому сфероидам ( $P_2(\cos \theta)$  — полином Лежандра). Это подтверждается и результатами натуральных измерений в облаках. Так, в [5] сообщается, что при фотографировании во взаимно перпендикулярных направлениях двумя камерами 1783 капель сферическая форма отмечена в 569 случаях, вытянутая сфероидальная — в 496, сплюснутая сфероидальная — в 331. Согласно численным расчетам [6], форма взвешенной в атмосфере капли зависит от ее размеров и может быть как сферической, так и сфероидальной. В связи с этим представляется целесообразным исследовать вопрос о зависимости изменения потенциальной энергии заряженной капли при виртуальных деформациях к формам вытянутого и сплюснутого сфероидов от амплитуды деформации (от эксцентриситета сфероиды) и величины заряда на капле. Следует отметить, что подобная задача решалась и раньше [7]. Однако в [7] анализ проводился лишь для слабо сфероидальных капель, основываясь на методе разложения по малому параметру, в качестве которого выбиралась величина характерной деформации, и результаты, полученные в [7], носят частный характер, а основным итогом [7] следует считать постановку проблемы.

1. Пусть первоначально сферическая капля радиуса  $R$  с коэффициентом поверхностного натяжения  $\sigma$ , имеющая заряд  $Q$ , претерпевает виртуальную деформацию к вытянутому сфероиду с эксцентриситетом  $e$ . Потенциальная энергия такой сфероидальной капли  $U$  будет состоять из энергии сил поверхностного натяжения и энергии электрического поля собственного заряда [7,8]

$$e^2 = 1 - \frac{b^2}{a^2}, \quad b = R(1 - e^2)^{1/6}, \quad a = R(1 - e^2)^{-1/3},$$

$$U = \frac{e\sqrt{1 - e^2} + \arcsin(e) + \arccos\left(\frac{1}{\sqrt{1 - e^2}}\right)\sqrt{1 - e^2}W}{(1 - e^2)^{1/6}e(W + 2)}, \quad (1)$$

$a$  и  $b$  — большая и меньшая полуоси сфероиды, параметр Рэлея  $W = Q^2/(4\pi R^3 \sigma)$  характеризует устойчивость капли по отношению к собственному заряду; капля становится неустойчивой при  $W \geq 4$  [3]; энергия  $U$  обезразмерена на потенциальную энергию исходной сферической капли  $U_0$

$$U_0 = 4\pi R^2 \sigma + \frac{Q^2}{2R}. \quad (2)$$

На рис. 1 приведена рассчитанная по (1) зависимость  $U = U(W, e)$ . Из него видно, что при закритических по Рэлею значениях параметра  $W$  (при  $W > 4$ ) потенциальная энергия капли уменьшается с увеличением эксцентриситета, проходит через минимум при  $e \approx 0.9$  и затем быстро растет с дальнейшим увеличением  $e$ . На рис. 2 кривой 1 представлена зависимость между параметром  $W$  и эксцентриситетом  $e$ , соответствующая постоянной энергии капли  $U = 1$ .

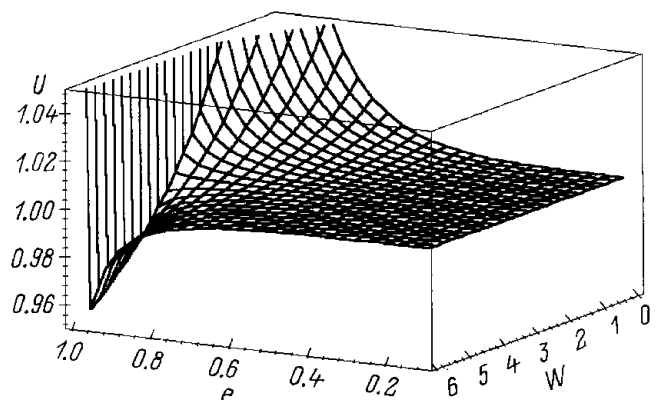


Рис. 1. Зависимость энергии заряженной капли  $U$ , имеющей форму вытянутого сфероиды, от величины параметра Рэлея  $W$  и эксцентриситета капли  $e$ .

Кривой 2 на том же рисунке нанесена аналогичная зависимость, полученная из условия  $\partial U/\partial e = 0$

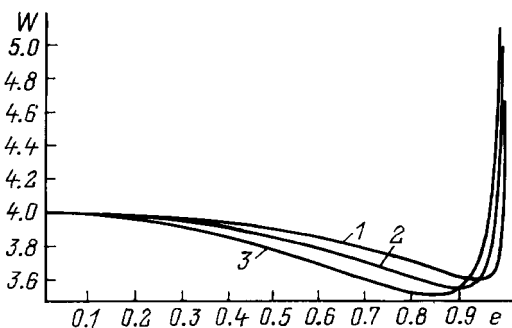
$$\begin{aligned} \frac{\partial U}{\partial e} = & -\frac{1}{3} \left[ 2e^3 - 4 \frac{e^2 \arcsin(e)}{\sqrt{1-e^2}} \right. \\ & - 3We - \arccos h \left( \frac{1}{\sqrt{1-e^2}} \right) We^2 - 3e \\ & \left. + 3 \frac{\arcsin(e)}{\sqrt{1-e^2}} + 3 \arccos h \left( \frac{1}{\sqrt{1-e^2}} \right) W \right] \\ & \times \left[ e^2(1-e^2)^{2/3}(W+2) \right]^{-1}. \end{aligned} \quad (3)$$

Кривая 2 связывает значения  $W$  и  $e$ , соответствующие экстремальному изменению потенциальной энергии деформируемой капли в реальном (в соответствии с принципом наименьшего действия) процессе деформации.

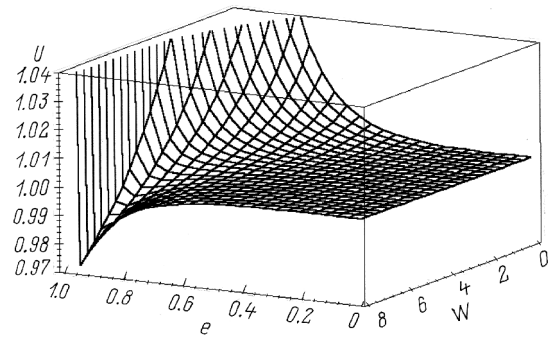
Кривая 3 на рис. 2 получена из условия  $\partial^2 U/\partial e^2 = 0$

$$\begin{aligned} \frac{\partial^2 U}{\partial e^2} = & -\frac{1}{9} \left[ 2e^5 - 28 \frac{e^4 \arcsin(e)}{\sqrt{1-e^2}} - 4W \right. \\ & \times \arccos h \left( \frac{1}{\sqrt{1-e^2}} \right) e^4 - 24We^3 \\ & - 27e^3 + 18We + 39 \frac{e^2 \arcsin(e)}{\sqrt{1-e^2}} \\ & + 30 \arccos h \left( \frac{1}{\sqrt{1-e^2}} \right) We^2 + 18e \\ & \left. - 18 \frac{\arcsin(e)}{\sqrt{1-e^2}} - 18 \arccos h \left( \frac{1}{\sqrt{1-e^2}} \right) W \right] \\ & \times \left[ (W+2)e^3(1-e^2)^{5/3} \right]^{-1} \end{aligned} \quad (4)$$

и разделяет плоскость  $(W, e)$  на две области: значения  $W$  и  $e$ , соответствующие геометрическому месту точек, расположенных выше кривой 3, характеризуют неустойчивое состояние вытянутой сфероидальной капли, ниже нее все состояния  $(W, e)$  соответствуют устойчивым



**Рис. 2.** Зависимости между параметром Рэлея  $W$  и эксцентриситетом вытянутой сфероидальной капли  $e$ , полученные из условий  $U = 1$ ,  $\partial U/\partial e = 0$  и  $\partial^2 U/\partial e^2 = 0$  (1–3 соответственно).



**Рис. 3.** Зависимости энергии заряженной капли  $U$ , имеющей форму сплюснутого сфероида, от величины параметра Рэлея  $W$  и эксцентриситета  $e$ .

сфероидальным формам, из которых капля обратимо возвращается к исходной сферической форме. Таким образом, заряженная капля при виртуальной деформации к вытянутому сфероиду может распасться лишь в области значений  $(W, e)$  на рис. 2, удовлетворяющей условию

$$\frac{\partial^2 U}{\partial e^2} \geq 0, \quad \frac{\partial U}{\partial e} \geq 0. \quad (5)$$

Из рис. 2 видно, что это условие выполняется лишь при весьма значительных деформациях:  $e \geq 0.9$ . Каков же будет распад — на две части сравнимых размеров [9] или с эмиссией большого количества высокодисперсных сильно заряженных капелек [10], в используемой идеализации сказать невозможно, это будет зависеть от вязкости и электропроводности капли и внешней среды [11,12].

2. Повторяя вышеприведенные рассуждения для заряженной капли, имеющей форму сплюснутого сфероида, несложно найти выражение для ее потенциальной энергии [7,8]

$$\begin{aligned} U = & \frac{1}{2} \left[ 2e + \ln \left( \frac{1+e}{1-e} \right) - \ln \left( \frac{1+e}{1-e} \right) e^2 + 2\sqrt{1-e^2} \right. \\ & \left. \times \arccos(\sqrt{1-e^2})W \right] \left[ e(1-e^2)^{1/3}(W+2) \right]^{-1}, \end{aligned}$$

$$e = \sqrt{1 - \frac{c^2}{a^2}}, \quad a = \frac{R}{(1-e^2)^{1/6}}, \quad c = R(1-e^2)^{1/3}, \quad (6)$$

где  $a$  — большая,  $c$  — меньшая полуоси сфероида.

На рис. 3 приведена рассчитанная по (6) зависимость потенциальной энергии сплюснутой сфероидальной капли от параметра Рэлея  $W$  и эксцентриситета  $e$ . Несложно видеть, что она качественно сходна с аналогичной зависимостью для вытянутого сфероида, приведенной на рис. 1.

На рис. 4 кривой 1 представлена зависимость между  $W$  и  $e$ , соответствующая постоянной энергии капли  $U = 1$ . Кривая 2 на том же рисунке — зависимость между параметром Рэлея  $W$  и эксцентриситетом  $e$ , соответствующая экстремальному изменению потенциальной

энергии или реальному процессу деформации капли в силу принципа наименьшего действия, полученная из условия  $\partial U / \partial e = 0$

$$\frac{\partial U}{\partial e} = -\frac{1}{6} \left\{ (6 - 10e^2 + 4e^4)W \arccos(\sqrt{1 - e^2}) + (-e^4 - 2e^2 + 3)\sqrt{1 - e^2} \ln\left(\frac{1 + e}{1 - e}\right) + 6(-1 + e^2)\sqrt{1 - e^2}e(W + 1) - 4\sqrt{1 - e^2}e^3 \right\} \times [e^2(W + 2)(1 - e^2)^{11/6}]^{-1}. \quad (7)$$

Кривой 3 на рис. 4 показана зависимость между  $W$  и  $e$ , полученная из условия  $\partial^2 U / \partial e^2 = 0$

$$\frac{\partial^2 U}{\partial e^2} = \frac{1}{9} \left[ (10e^4 - 33e^2 + 18)\sqrt{1 - e^2}W \arccos(\sqrt{1 - e^2}) + (e^6 + 11e^4 - 21e^2 + 9)\ln\left(\frac{1 + e}{1 - e}\right) + (-21e^5 - 18e + 39e^3)W - 2e^5 + 36e^3 - 18e \right] \times [e^3(W + 2)(1 - e^2)^{1/3}(-1 + e^2)^2]^{-1}. \quad (8)$$

Геометрическое место точек  $(W, e)$ , расположенных ниже кривой 3, соответствует состояниям сплюснутой сфероидальной капли, из которых она возвращается к исходной сферической форме. Поскольку все точки кривой 2, вдоль которой изменяются  $W$  и  $e$  при реальной деформации капли, расположены ниже кривой 3, то распада заряженной капли при симметричных деформациях к сплюснутому сфероиду не происходит. Это обстоятельство на основе иных исходных посылок отмечалось ранее в [13]. Распад заряженной сплюснутой сфероидальной капли может иметь место только при ее несимметричных деформациях [14].

3. На рис. 5 приведена зависимость потенциальной энергии вытянутой сфероидальной капли (при  $e^2 > 0$ )

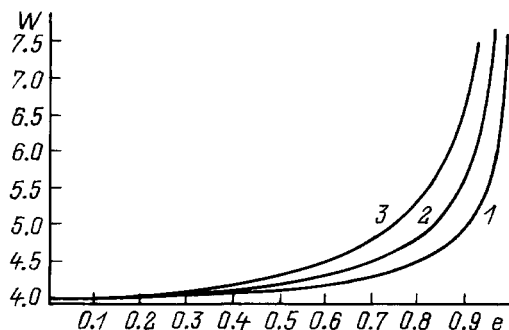


Рис. 4. Зависимости между параметром Рэлея  $W$  и эксцентриситетом сплюснутой сфероидальной капли  $e$ , полученные из условий:  $U = 1$ ,  $\partial U / \partial e = 0$  и  $\partial^2 U / \partial e^2 = 0$  (1–3 соответственно).

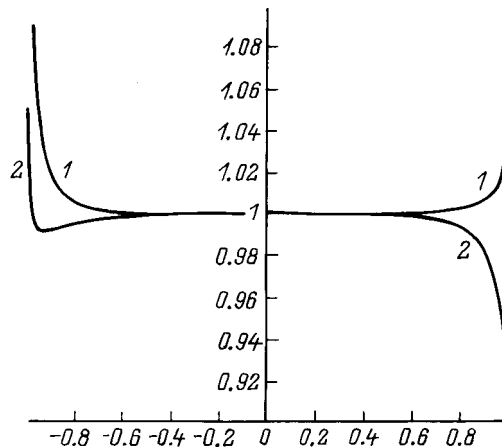


Рис. 5. Зависимость энергии сфероидальных капель  $U$  сплюснутой ( $e^2 < 0$ ) и вытянутой форм ( $e^2 > 0$ ) от квадрата эксцентриситета  $e^2$  при  $W = 3$  (1), 6 (2).

и сплюснутой сфероидальной капли (при  $e^2 < 0$ ) от квадрата эксцентриситета  $e^2$  при фиксированных значениях параметра Рэлея  $W = \text{const}$ . Несложно видеть, что при качественном сходстве поведения зависимости  $U = U(e)$  для сплюнутого и вытянутого сфероидов минимум функции  $U = U(e)$  для вытянутого сфероида гораздо более глубокий, что и объясняет различие в вероятности наблюдения в натуральных измерениях капель сплюснутых и вытянутых сфероидальных форм [5].

## Заключение

Анализ на основе принципа минимальности потенциальной энергии изолированной заряженной капли показывает, что сферические сильно заряженные капли, деформирующиеся к форме вытянутого сфероида, могут потерять устойчивость по отношению к распаду на дочерние капли, тогда как капли, деформирующиеся к форме сплюнутого сфероида, устойчивы.

## Список литературы

- [1] Григорьев А.И., Ширяева С.О., Шевченко С.И. // Научное приборостроение. 1991. Т. 1. № 3. С. 25–43.
- [2] Григорьев А.И., Ширяева С.О. // Изв. РАН. МЖГ. 1994. № 3. С. 3–22.
- [3] Rayleigh // Phil. Mag. 1982. Vol. 14. P. 184–186.
- [4] Григорьев А.И. // ЖТФ. 1985. Т. 55. Вып. 7. С. 1272–1278.
- [5] Jones D.M.A. // J. Meteor. 1959. Vol. 16. N 5. P. 504–510.
- [6] Pruppacher H.R., Klett J.D. Microphysics of Clouds and Precipitation. D. Reidel Publish. Co., 1978. 714 p.
- [7] Ailam G., Gallily I. // Phys. Fluid. 1962. Vol. 5. N 5. P. 575–582.
- [8] Ландау Л.Д., Лифшиц Е.М. Электродинамика сплошных сред. М.: Наука, 1982. 620 с.
- [9] Ширяева С.О., Коромыслов В.А., Григорьев А.И. // Электрон. обраб. материалов. 1995. № 1. С. 35–39.

- [10] Григорьев А.И., Ширяева С.О. // ЖТФ. 1991. Т. 61. Вып. 3. С. 19–28.
- [11] Ширяева С.О. // ПЖТФ. 1996. Т. 22. № 4. С. 84–88.
- [12] Ширяева С.О., Григорьев А.И., Коромыслов В.А. // ПЖТФ. 1996. Т. 22. № 9. С. 64–69.
- [13] Bassaran O.A., Scriven L.E. // Phys. Fluids A. 1989. Vol. 1. N 5. P. 795–798.
- [14] Grigor'ev A.I., Firstov A.A., Shiryayeva S.O. // Proc. 9<sup>th</sup> Intern. Conf. on Atmosperic Electricity. St.Petersburg, 1992. P. 450–453.